

## نایپوستگی جهانی روی کوارتزیت بالایی سازند لالون

(مرز کامبرین زیرین و میانی): گواهی بر اینکه

کوارتزیت بالایی، کوارتزیت پایه سازند میلا نیست

نوشته: دکتر یعقوب لاسمی\* و هادی امین‌رسولی\*

### Interregional Unconformity on the Top Quartzite Unit of the Lalun Formation (Lower and Middle Cambrian Boundary): Evidence Indicating that the Top Quartzite is not the Base Quartzite of the Mila Formation

By: Dr. Y. Lasemi\* & H. A. Rasouli\*

#### چکیده

سازند لالون (کامبرین زیرین) در برگیرنده واحدهای ماسه‌سنگ پایینی، شیلی (واحد میانی) و کوارتزیت بالایی است. واحد شیلی با مرز نایپوسته روی واحد ماسه‌سنگ پایینی جای دارد. دو افق بیوه‌رمی در بخش پایینی واحد شیلی شناخته شده‌اند. واحد شیلی بتدریج به واحد کوارتزیت بالایی تغییر می‌کند. محیط رسوبی واحد شیلی خلیج دهنه‌ای است. واحد کوارتزیت بالایی سازند لالون با نایپوستگی فرسایشی در زیر بخش ۱ سازند میلا جای دارد. این واحد در محیط رسوبی ساحلی نوشته شده است.

رخساره‌ها و محیط رسوبی ماسه‌سنگ کوارتزیت بالایی با کوارتزیتهاي Hawke Bay منطقه آپلاش و Zabriskie کالیفرنیا همسان‌اند. سطح بالایی این نهشته‌ها نایپوستگی ناجیه‌ای و مرز کامبرین پیشین و میانی است. نهشته‌های هم‌ارز واحد کوارتزیت بالایی در کشورهای ترکیه، عمان، چین، جنوب باختری اروپا، جنوب استرالیا و امریکای شمالی نیز با نایپوستگی فرسایشی از نهشته‌های رویی خود جدا می‌شوند. بنابراین، مرز نایپوسته روی واحد کوارتزیت بالایی ارزش جهانی دارد و به گمان قوی، مرز کامبرین پیشین و میانی در ایران است.

بخش ۱ سازند میلا بر روی کوارتزیت بالایی سازند لالون جای دارد. دو افق بیوه‌رم و بیوه‌رم ترومیولیتی در نزدیک مرز پایینی بخش ۱ سازند میلا (۲ متر بالای مرز) دیده می‌شود که نشان دهنده آغاز پیشروی دریای کامبرین میانی است. این پیشروی به پدید آمدن توالی پیشروندۀ سازند میلا (بخش‌های ۱ تا ۳) انجامیده است. بنابراین واحد کوارتزیت بالایی در توالی پیشروندۀ سازند میلا جای ندارد و نمی‌تواند، برخلاف پیشنهاد برخی از زمین‌شناسان، کوارتزیت پایینی آن باشد.

نایپوستگی فرسایشی در مرز پایینی واحد شیلی و در مرز بالایی واحد کوارتزیت بالایی و همچنین مرز تدریجی این واحدها نشان می‌دهند که واحد کوارتزیت بالایی را نمی‌توان یک واحد چینه شناختی جدا از واحد شیلی پنداشت.

**کلید واژه‌ها:** سازند لالون، واحد کوارتزیت بالایی، واحد شیلی، کوارتزیت پایه، بخش ۱ سازند میلا، کامبرین زیرین، کامبرین میانی

#### Abstract

The Lower Cambrian Lalun Formation includes the lower Sandstone, middle Shale and upper Top Quartzite units. The contact of the Shale unit with that of the Sandstone unit is unconformable grading upward to Top Quartzite unit. Two bioherm horizons are present near the base of the shale unit. The Shale unit represents deposition in an estuary environment. The Top Quartzite of the Lalun Formation records deposition in a shoreface depositional setting.

Facies and depositional environment of the Hawke Bay Quartzite of the Appalachian Mountains and the Zabriskie Quartzite of California are similar to the Top Quartzite of the Lalun Formation. The upper contact of the Hawke Bay and Zabriskie

Quartzites is a regional unconformity signifying the Lower and Middle Cambrian boundary. These deposits, as well as, the Top Quartzite are correlated to similar deposits in Turkey, Oman, China, southwest Europe and south of Australia. They are unconformably overlain by Middle Cambrian rocks, too. Therefore, the unconformity of the top of the Top Quartzite unit is interregional, coinciding with the Lower and Middle Cambrian boundary.

Two biostromal and biothermal thrombolite horizons present near the base of Member 1 (2 meters above the boundary) indicating the onset of Middle Cambrian transgression. This event resulted in the formation of the transgressive Mila succession (Members 1-3). Therefore, the Top Quartzite of the Lalun Formation does not belong to the Mila succession and cannot be considered as its Base Quartzite unit, as some geologists have previously suggested.

The contact between the Shale and Top Quartzite units is gradational and the two units are bounded by two erosional unconformities. Therefore, the Top Quartzite cannot be considered as a separate lithostratigraphic unit.

**Keywords:** Lalun Formation, Top Quartzite unit, Shale unit, Base Quartzite, Member 1 of Mila Formation, Middle Cambrian, Lower Cambrian

#### مقدمه

گرفته است و؛ (۴) واحد شیلی نیز با نایپوستگی بر روی واحد زیرین (واحد ماسه‌سنگ پایینی) سازند لالون جای دارد.

هدف مهم این مطالعه، ارائه گواهانی است که نشان می‌دهند (۱) مرز کامبرین زیرین و میانی سطح نایپوسته بالای کوارتزیت بالایی است، (۲) کوارتزیت بالایی سازند لالون کوارتزیت پایه سازند میلا نیست و (۳) کوارتزیت بالایی نمی‌تواند واحد چینه‌شناختی جداگانه‌ای باشد. در این مطالعه نهشته‌های واحد‌های شیلی و کوارتزیت بالایی سازند لالون و بعض پایینی سازند میلا در نواحی تویه- دروار (جنوب باختر دامغان) و شهرمیرزاد (شمال سمنان) بررسی شده‌اند (شکل ۱).

رخساره‌ها بر پایه برسیهای صحرایی و آزمایشگاهی شناسایی شده‌اند. سنگ‌های کربناتی بر پایه رده‌بندی (Dunham, 1962) و سنگ‌های آواری بر پایه رده‌بندی Embry & Klovan (1971) و (Pettijohn et al., 1987) نامگذاری شده‌اند.

#### وخاره‌های بخش بالایی سازند لالون

(1963) Assereto سازند لالون را، در برش الگو، به واحد‌های ماسه‌سنگ پایینی (۴۹۸ متر)، شیلی (۳۵۰ متر) شیل رنگین با میان لایه‌هایی از ماسه‌سنگ و کوارتزیت بالایی (۵۰ متر) بخش کرده است (شکل ۲). بر پایه مطالعات امین‌رسولی (۱۳۷۸) و لاسمی و امین‌رسولی (۱۳۷۸)، (۱۳۸۲، ۱۳۸۲a,b و زیر چاپ) سنگ‌های واحد شیلی سازند لالون نهشته‌های خلیج دهانه‌ای وابسته به هنگام پیشروی سطح دریا هستند. نشانه‌های این پیشروی که در نزدیک مرز کامبرین زیرین و میانی رخ داده است، در نواحی شهرمیرزاد و تویه- دروار لایه ماسه‌سنگ کوارتزی قلوه‌دار (شکل ۳a) با آشفتگی‌های زیستی (شکل ۳b) است که با سطح زیرین فراسایشی بر روی واحد ماسه‌سنگ پایینی دیده می‌شود. لایه همسان در برگردانه آشفتگی‌های زیستی وابسته به نزدیک پایان کامبرین زیرین در بخش‌های دیگر جهان، شناخته شده‌اند.

سازو کار رخدادهای مهم به پدید آمدن مرزهای نایپوسته جهانی می‌انجامند. این مرزها برای انجام هم ارزی چینه شناختی (Stratigraphic correlation) (ناحیه‌ای و جهانی) اهمیت زیادی دارند.

مرز کامبرین زیرین و میانی یکی از مرزهای مهم توالی رسوبی فانروزوییک است که در ایران به درستی شناسایی نشده است. زمین‌شناسان دیدگاه یکسانی درباره جایگاه مرز کامبرین زیرین و میانی ایران ندارند. برخی این مرز را بر روی بخش ۱ سازند میلا (برای نمونه، حمدی، ۱۳۷۴، Matsumoto et al., 1995) و برخی دیگر آن را در زیر واحد کوارتزیتی سازند لالون (Assereto, 1963) پنداشته‌اند (برای نمونه، علوی نائینی، ۱۳۷۲؛ آقاباتی، ۱۳۸۳؛ Alvai, 2004). اشتوكلین و همکاران (Stocklin et al., 1964) و کوشان (Kushan, 1978) و (Stocklin et al., 1964) پایه جایگاه چینه‌شناختی، مرز کامبرین زیرین و میانی را روی واحد کوارتزیت بالایی (Top Quartzite) سازند لالون پیشنهاد کرده‌اند.

گروهی از پژوهشگران زمین‌شناسی ایران (برای نمونه علوی نائینی، ۱۳۷۲؛ حمدی، ۱۳۷۴؛ آقاباتی، ۱۳۸۳) مرز نایپوسته بالای کوارتزیت بالایی سازند لالون را تشخیص نداده و مرز تدریجی این واحد با واحد شیلی زیرین را نایپوسته پنداشته‌اند. این اشتباه بزرگ سبب شده است که آنها کوارتزیت بالایی را کوارتزیت پایه (Base Quartzite) سازند میلا و نشان دهنده آغاز پیشروع کامبرین میانی پنداشند. آلنباخ (Allenbach, 1966) نیز مرز کوارتزیت بالایی و سازند میلا را نایپوسته مشخص کرده است.

بررسی رخساره‌ها، محیط‌های رسوبی و چینه‌نگاری توالی سنگ‌های کامبرین البرز (برای نمونه لاسمی، ۱۳۷۹؛ لاسمی و امین‌رسولی، ۱۳۷۸، ۱۳۷۹، ۱۳۸۱a,b و ۱۳۸۱a,b) نشان داده است که: (۱) سازند میلا با نایپوستگی فراسایشی/خاک قدیمی بر روی واحد کوارتزیت بالایی جای دارد؛ (۲) مرز بین سریهای کامبرین زیرین و میانی روی واحد کوارتزیت بالایی است؛ (۳) کوارتزیت بالایی با مرزی تدریجی بر روی واحد شیلی جای

کوارتزیت بالایی نزدیک ۵۰ متری متراست بردارد (شکل ۴f) (راستگار، ۱۳۷۹). در منطقه مهاباد (آذربایجان باختری) افق هوازده سرخ رنگ در مرز سازند میلا و کوارتزیت بالایی شناخته شده است (افتخار نژاد، ۱۹۶۷، گرفته شده از علوی نائینی، ۱۳۷۲). افق‌های هوازده سرخ رنگ/خاک قدیمی که گسترش زیاد دارند نشان دهنده مرزهای نایپوسته مهم‌اند (Lasemi, 1995; Emery & Myers, 1996; Bhattacharyya & Chakraborty, 2000; Miall, 2000).

رخساره‌ها و محیط‌های رسوبی ماسه‌سنگ کوارتزیت بالایی با کوارتزیت Bay Hawke منطقه آپالاش (Palmer, 1981; Debrenne & James, 1981) است. کوارتزیت بالایی Zabriskie (Fedo & Cooper, 2001) همسان است. سطح بالایی این نهشته‌ها نایپوستگی ناحیه‌ای (Prave, 1992; Keller et al., 2003) و مرز کامبرین پیشین و میانی (e.g., Palmer, 1981; Keller et al., 2003) است. نهشته‌های هم ارز واحد کوارتزیت بالایی در کشورهای ترکیه (نوشه منتشر نشده آقای دکتر جمشید افخار نژاد)، عمان (Meng et al., 1997)، شمال چین (Millson et al., 1996) و جنوب ایالات متحده آمریکا (Alvaro et al., 2000) و اسٹرالیا (Rowland & Gangloff, 1988) و امریکای شمالی (Palmer, 1981; Debrenne & Jams, 1981; Keller et al., 2003) با نایپوستگی هم‌شبیب از نهشته‌های روی خود جدا می‌شوند. بنابر این، مرز نایپوسته روی واحد کوارتزیت بالایی ارزش جهانی دارد و به گمان قوی، مرز کامبرین پیشین و میانی در ایران است (لامسی و امین رسولی، ۱۳۸۲a,b).

### رخساره‌های بخش پایینی سازند میلا

بخش ۱ سازند میلا (Stocklin et al., 1964) از سنگهای کربناتی ساخته شده است. به باور شماری از زمین‌شناسان این بخش هیچ گونه بازماندگان زیستی ندارد و مرز آن با واحد کوارتزیت بالایی پیوسته است (برای نمونه، علوی نائینی، ۱۳۷۲؛ حمدی، ۱۳۷۴؛ آقانباتی، ۱۳۸۳).

بررسی رخساره‌ها و محیط‌های رسوبی (برای نمونه، لامسی، ۱۳۷۹، امین رسولی، ۱۳۷۸؛ لامسی و امین رسولی، ۱۳۷۸) نشان داده است که در این بخش، فرون بر نایپوسته بودن مرز سازند میلا و کوارتزیت بالایی، بازماندگان زیستی لاله و ش، تربیلویت، آنکوئید و میکروویولیت (استروماتولیت و ترومبویولیت) فراواناند (شکل ۴a-f).

در ناحیه شهمیرزاد پس از ۲ متر از آغاز بخش ۱ سازند میلا (شکل ۶a)، گلسنگ آهکی کوارتزدار به سوی بالا به گلسنگ آهکی بدون کوارتز و

(Pemberton et al., 1979; Seslavinsky & Janes & Gravestock 1990; Maidanskaya, 2001; Fedo & Cooper 2001 Hasiotis, 2003)

کنگلومرا کوارتزی بالای سازند داهو در زرند کرمان (لامسی) هم ارز این لایه ماسه‌سنگ کوارتزی قلوه‌دار است که در هنگام پیشروی دریا پدید آمده است. آنباخ (۱۹۷۲) نیز مرز واحد کوارتزیت بالای و سازند میلا را نایپوسته مشخص کرده است.

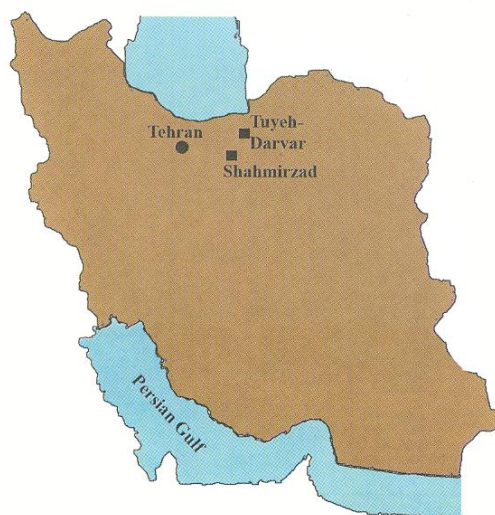
در ناحیه تویه دروار، روی این لایه، شیلهای رنگی با دو افق بیوهرمی (شکل ۳c) جای دارند (امین رسولی، ۱۳۷۸؛ لامسی و امین رسولی، ۱۳۷۹، ۱۳۸۱a,b و ۱۳۸۲). این بیوهرمهای بر جستگی‌های همزمان با رسوبگذاری (Kisseling & Flugel, 2002) هستند که به گونه کمبلکس‌های بیوهرمی جدا از هم‌اند. سازندگان این بیوهرمهای میکروویولیتها هستند (لامسی و امین رسولی، زیر چاپ) (شکل ۳d). افق‌های بیوهرمی و شیلهای رنگین واحد شیلی، به گمان قوی، هم ارز لایه‌های کربناتی و شیلهای بخش زیرین واحد ماسه‌سنگ کوارتزیتی Zaberiski (Fedo & Cooper, 2001)، بیوهرمهای سرانجام کامبرین زیرین (Hicks et al., 2003) در چین (Hubei)، مناطق نوادا در امریکا و باختر (Alvaro et al., 2000)، مناطق باختر نیوفاندلند (Koblik & James, 1979) و جنوب لابرادور (Zhuravlev, 2001) در حاشیه باختری کوههای آپالاش در خاور کانادا (زیر سازند (Debrenne & James, 1981؛ James & Gravestock, 1990)، منطقه Soudry & Weissbrod, 1995) Elat (James & Zhuravlev, 2001) Altay-Sayan-Tuva و نواحی دیگر (Debrnne, 1980؛ Gangloff, 1988؛ Rowland & Wood, 1995، 1996) جهان (Zhuravlev & Wood, 1995، 1996) هستند. بیوهرمهای یاد شده پس از نابودی زیستی سرآغاز تیونین (Alvaro et al., 1999) (پدیدار شده‌اند. بیوهرمهای میکروویولیتی (استروماتولیت-تروموبولیتی) واحد شیلی سازند لاون با تناوب شیل و ماسه سنگ پوشیده شده‌اند. این نهشته‌ها به تدریج به واحد کوارتزیت بالای سازند لاون تغییر می‌کنند (شکل ۴a).

واحد کوارتزیت بالایی نهشته‌های ساحل دریا وابسته به دسته رخساره‌ای افت سطح دریا هستند (امین رسولی، ۱۳۷۸؛ لامسی و امین رسولی، ۱۳۷۸ و ۱۳۸۲). لامسی (۱۳۷۹، ۱۹۹۵، ۱۹۹۷) نایپوستگی مهمی روی واحد کوارتزیت بالایی تشخیص داده است. این نایپوستگی در خاور البرز مرکزی به گونه افق هوازده سرخ رنگ (شکل ۴b, c) است که در آن بیش از ۹۰ درصد دانه‌های ماسه به دولومیت/هماتیت تغییر کرده‌اند (شکل ۴d, e). در منطقه عجب‌شیر (آذربایجان خاوری) افق هوازده بالای

پیش روی به پدید آمدن توالی پیشرونده کامبرین میانی تا بالایی (بخش های ۱ تا ۳ سازند میلا) انجامیده است. بنابراین واحد کوارتزیت بالایی کوارتزیت پایه سازند میلا نیست.

بیوه رمهای ترومبویلیتی به طور معمول در آغاز پیش روی دریا و پس از نابودی زیستی جهانی پدیدار می شوند. بیوه رمهای میکروبیولیتی واحد شیلی سازند لالون در هنگام پیش روی دریا، پس از نابودی زیستی سر آغاز تیونین، پدید آمده اند. ترومبویلیتهای بخش ۱ سازند میلا، نیز، در آغاز پیش روی دریایی کامبرین میانی، پس از نابودی زیستی سرانجام تیونین، بر روی مرز نایپوسته واحد کوارتزیت بالایی پدیدار شده اند.

واحد شیلی سازند لالون با نایپوستگی فرسایشی واحد ماسه سنگ پایینی را می پوشاند و به تدریج به واحد کوارتزیت بالایی تغییر می کند. بودن نایپوستگی در بخش پایینی واحد شیلی نشان می دهد که واحد های شیلی و کوارتزیت بالایی سازند لالون بخش ناپذیرند و کوارتزیت بالایی نمی تواند واحد چینه شناختی جداگانه ای باشد.



شکل ۱- جایگاه جغرافیایی نواحی مورد بررسی

آهک شیلی تیره رنگ تغییر می کند. سپس ۲ افق بیوستروم و بیوه رم ترومبویلیتی، در نزدیک مرز بخش ۱ سازند میلا با واحد کوارتزیت بالایی، دیده می شود (شکل ۶b). سترای افق بیوستروم ترومبویلیتی ۲۰ سانتی متر است و در آن ترومبویلیتها به گونه عدیسهای چند سانتی متری جای دارند (شکل ۶c). سطح بالای این افق هموار است. ترومبویلیتها در افق بیوه رم به گونه عدیسهای چسییده (شکل ۶d) و جدا از هم (شکل ۶e,f) هستند. اندازه این ترومبویلیتها از چند سانتی متر تا مترا تغییر می کند. نهشته های زیر و بین ترومبویلیتها آهک های شیلی تیره رنگ و مدتستون تا کستون بیوکلاستی تربیلویت دار (شکل ۶g,h) وابسته به کمربند دریایی باز هستند. افق ترومبویلیت بیوه رمی با رخساره گرینستون اثوییدی (شکل ۵e) وابسته به کمربند سدی پوشیده شده است.

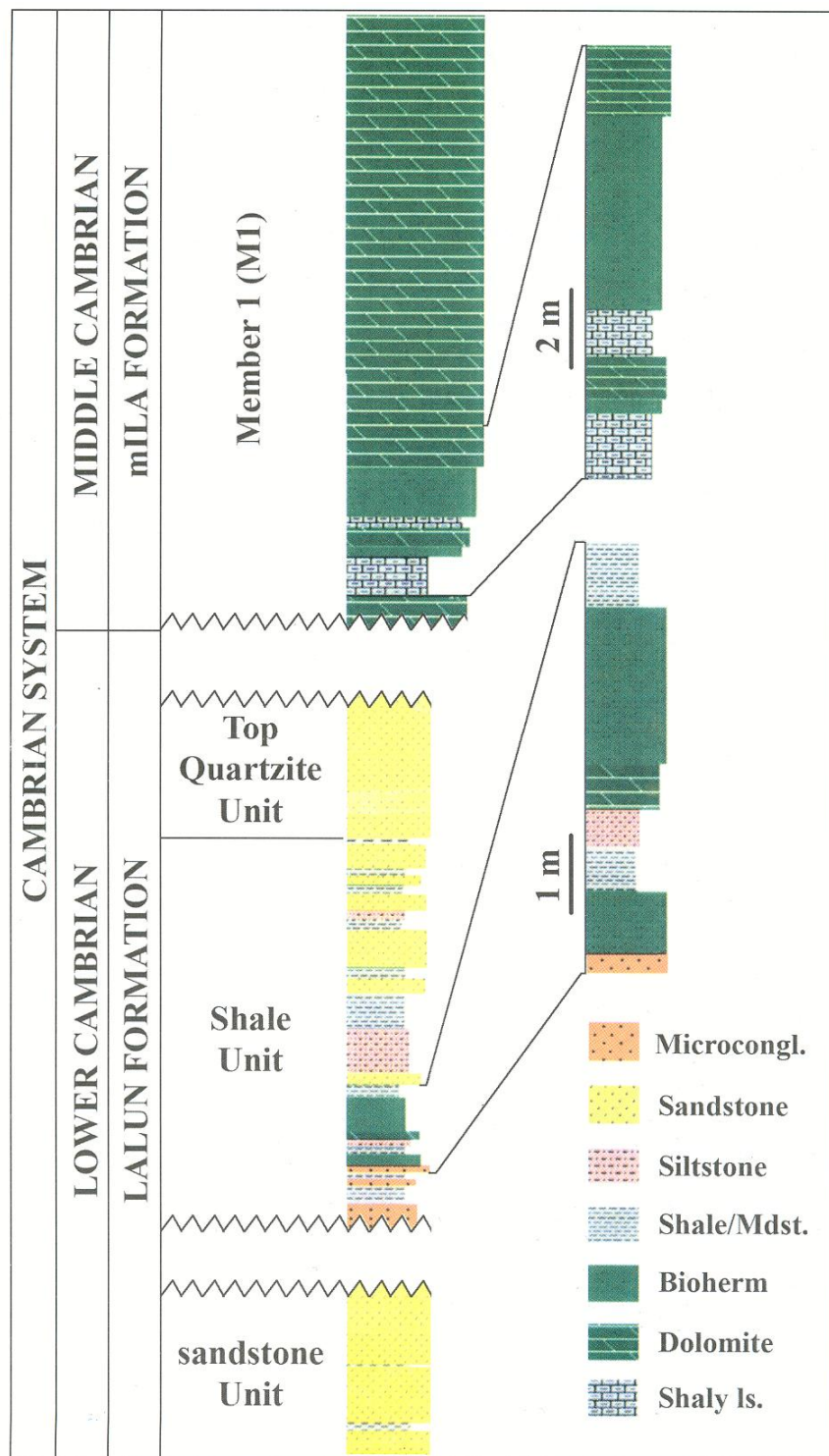
ترومبویلیتها به طور معمول در آغاز پیش روی دریاها و پس از نابودی زیستی جهانی (Mass extinction) پدیدار می شوند (Brett, 1995; Glumac & Walker, 1997) سازند میلا نیز در آغاز پیش روی دریایی کامبرین میانی، پس از نابودی زیستی سرانجام تیونین (Alvaro et al., 1999)، پدیدار شده اند (اسمی، ۱۳۷۹). این پیش روی به پدید آمدن توالی پیشرونده کامبرین میانی تا بالایی (بخش های ۱ تا ۳ سازند میلا) انجامیده است. بنابراین واحد کوارتزیت بالایی، بی تردید، در توالی پیشرونده سازند میلا جای ندارد و نمی تواند کوارتزیت پایه آن باشد.

بیوه رمهای میکروبیولیتی واحد شیلی سازند لالون (امین رسولی، ۱۳۷۸؛ لاسمی و امین رسولی، ۱۳۷۹ و ۱۳۸۲a,b و ۱۳۸۱a،b و زیر چاپ)، سازند الیکا در البرز (طهماسبی، ۱۳۷۶)، سازند کنگان در زاگرس (لامسی و همکاران، ۱۳۷۷) و منطقه Elat (Soudry & Weissbrod, 1995) همسان با ترومبویلیتهای بالای مرز کامبرین زیرین و میانی، پس از مرز نایپوسته در آغاز پیش روی دریا پدید آمده اند.

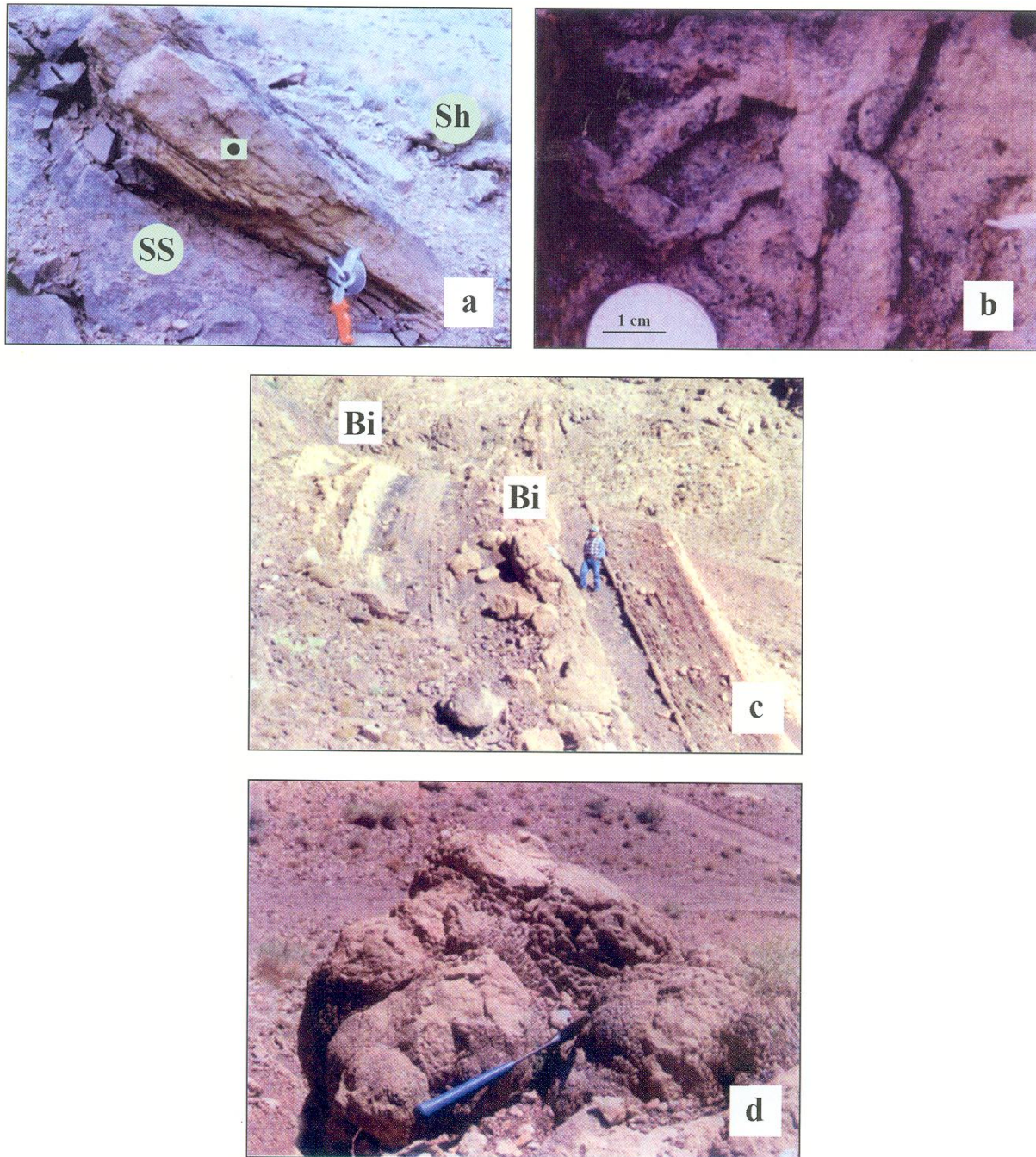
### نتیجه گیری

نهشته های واحد کوارتزیت بالایی با ماسه سنگ های کوارتزیتی Hawke Bay Zabriskie منطقه آپلاش و کالیفرنیا هم ارزند و در محیط رسوبی یکسانی نهشته شده اند. مرز بالایی این نهشته ها نایپوستگی مهم بین سریهای کامبرین زیرین و میانی است. بنابراین مرز کامبرین زیرین و میانی در ایران مرز بین بخش ۱ سازند میلا و واحد کوارتزیت بالایی سازند لالون است.

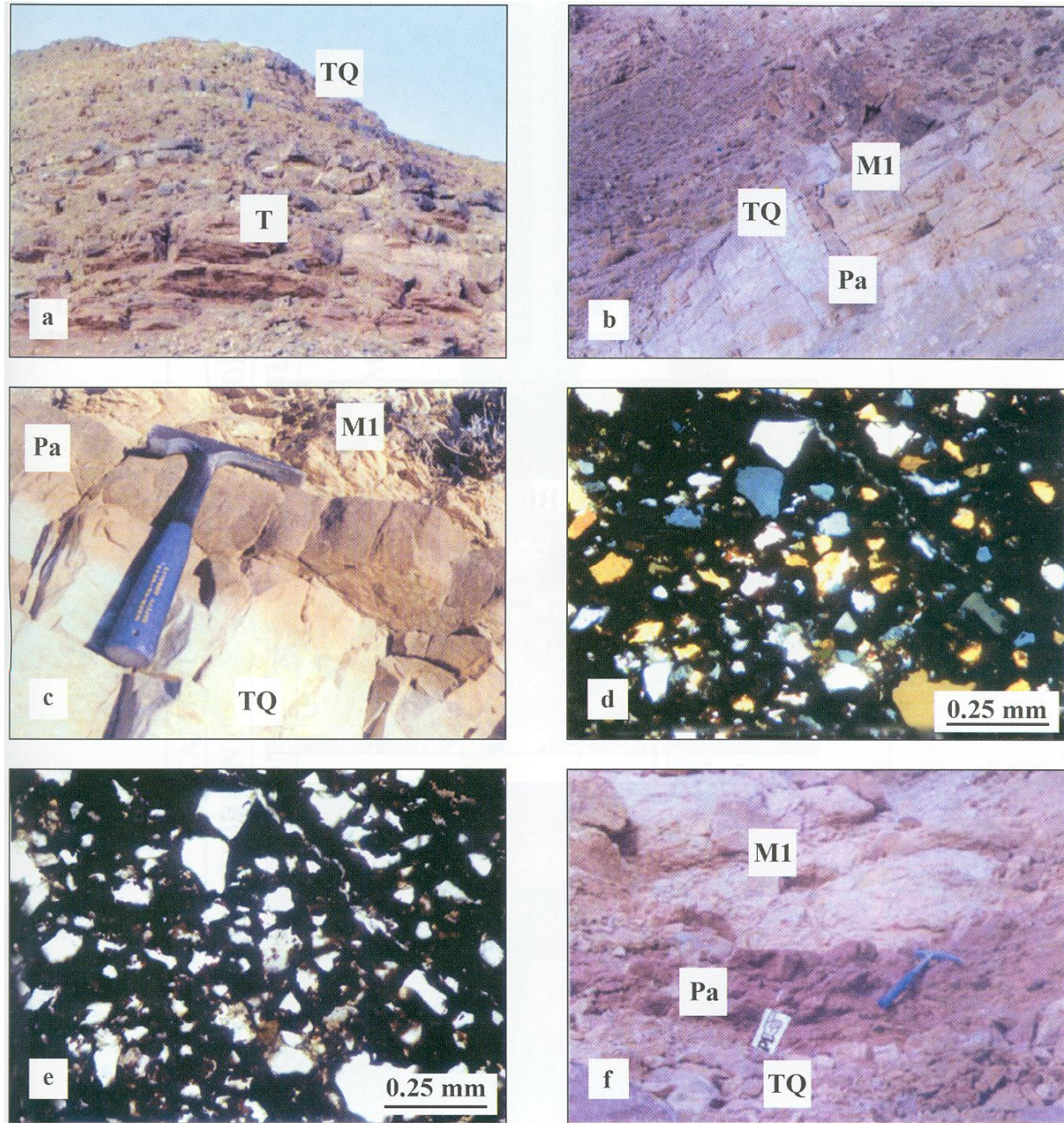
نایپوستگی جهانی روی واحد کوارتزیت بالایی و همچنین بودن دو افق بیوستروم و بیوه رم ترومبویلیتی، در نزدیک مرز پایینی بخش ۱ سازند میلا، نشان دهنده پیش روی دریا در آغاز نهشته گذاری سازند میلا است. این



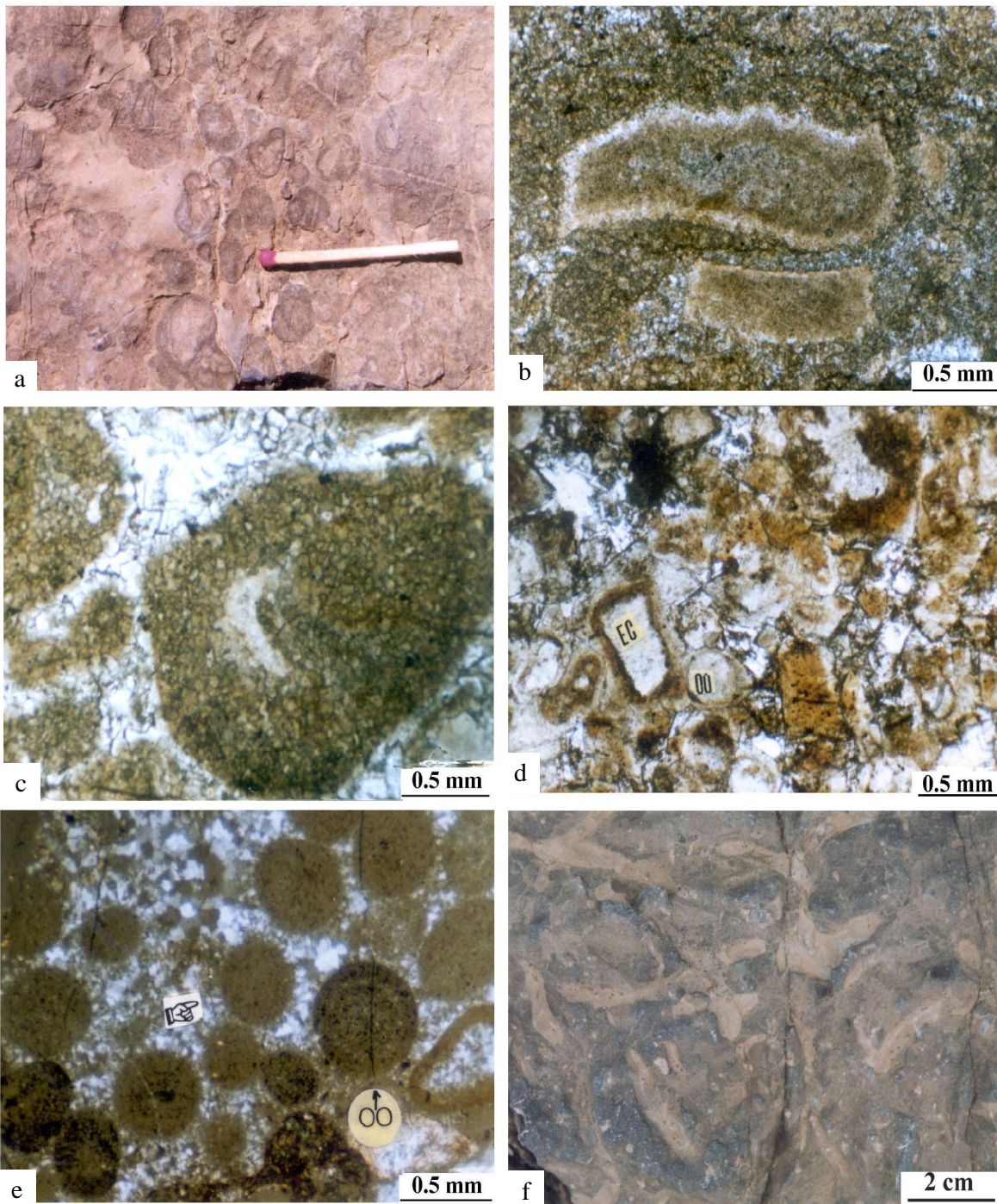
شکل ۲- ستون چینه‌شناختی ترکیبی واحدهای شیلی و گوارتزیت بالایی سازند لالون و بخش ۱ سازند میلا در خاور البرز مرکزی. در شکل جایگاه افقهای بیوهرمی واحد شیلی سازند لالون (تویه- دروار) و بخش ۱ سازند میلا (شهمیرزاد) دیده می‌شوند.



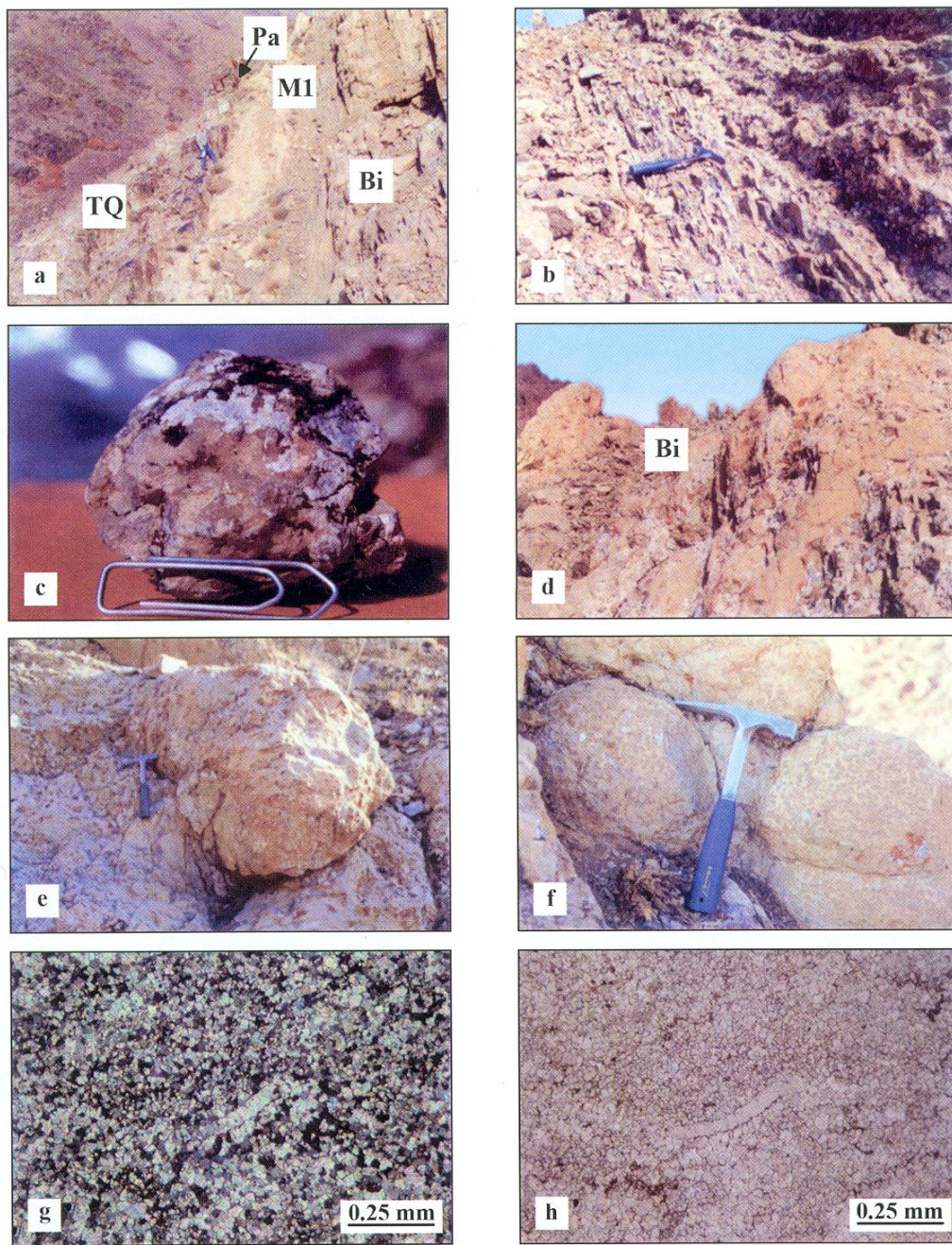
شکل ۳-۳ (a) نمای نزدیک از لایه ماسه سنگ قلوه دار (بخش میانی عکس) در مرز واحدهای ماسه سنگ پایینی (SS) و شیلی (Sh) سازند لالون در ناحیه تویه-دروار. (b) آشفتگی زیستی در روی لایه ماسه سنگ قلوه دار. (c) نمای دور از دو افق بیوهرمی (Bi) واحد شیلی سازند لالون در ناحیه تویه-دروار. (d) بیوهرهای چسبیده به هم واحد شیلی سازند لالون.



شکل ۴- (a) نمایی از تناوب ماسه سنگ و شیل (بخش تدریجی) (T) و واحد کوارتزیت بالایی (TQ) سازند لالون در ناحیه تویه- دروار. (b) افق ماسه سنگ هوازده سرخ رنگ/ خاک قدیمی (Pa) در مرز واحد کوارتزیت بالایی (TQ) و بخش ۱ سازند میلا (M1) در نواحی تویه- دروار (b) و شهمیرزاد (c). d. e: عکس میکروسکوپی از افق هوازده بالاترین بخش واحد کوارتزیت بالایی که در آن دانه‌های کوارتز با دولومیت و اکسید آهن جانشین شده‌اند، (d) در نور پلاریزه و (e) در نور طبیعی. f: افق خاک قدیمی (Pa) در مرز واحد کوارتزیت بالایی (TQ) و بخش ۱ سازند میلا (M1) در ناحیه عجب شیر (عکس از راستگار، ۱۳۷۹).



شکل ۵- a) عکس از انکوییدهای بخش ۱ سازند میلا در نمونه دستی. b و c: عکس میکروسکوپی از نهشته‌های انکویید دار. هسته انکوییدها را لاله و ش (b) و تریلوبیت (c) ساخته اند. d: رخساره گرینستونی ائوییدی (OO) لاله و ش (Ec) دار دولومیتی. e: رخساره گرینستونی ائوییدی (OO) چرتی. فرایند دیاژنز به سیلیسی شدن دانه‌ها و زمینه انجامیده است. f: آشفتگی‌های زیستی در نهشته‌های بخش ۱ سازند میلا.



شکل ۶- (a) افق خاک قدیمی (Pa) در مز واحد گوارتزیت بالایی (TQ) و بخش ۱ سازند میلا (M1) و جایگاه افقهای بیوسترومی و بیوهرمی (Bi) (بخش ۱ سازند میلا در ناحیه شهمیرزاد). b: نمای نزدیک از لایه‌های نازک آهک شیلی بین تروموبولیتهای بیوسترومی و بیوهرمی بخش ۱ سازند میلا. c: تروموبولیتهای سازنده لایه بیوسترومی بخش ۱ سازند میلا. d: نمای نزدیک از بیوهرمهای به هم چسبیده (Bi) (بخش ۱ سازند میلا). e: نمای نزدیک از بیوهرمهای جدا از هم در بخش ۱ سازند میلا. f: فابریکهای لخته‌ای بیوهرمها. g و h: عکس میکروسکوپی در نور پلاریزه (g) و طبیعی (h) از رخساره آهکهای شیلی تیره رنگ بین افقهای بیوستروم و بیوهرمی بخش ۱ سازند میلا در ناحیه شهمیرزاد. در شکل بیوکلست تریلویت در زمینه دولومیت دیده می‌شود.

**کتابنگاری**

- آقاباتی، ع.، ۱۳۸۳- زمین‌شناسی ایران. سازمان زمین‌شناسی و اکتشافات معدنی کشور، ۵۸۶ [۶۱۹] صفحه.
- امین‌رسولی، م.، ۱۳۷۸- بررسی میکروفارسیسهای، محیط‌های رسوی و چینه‌شناسی توالیهای واحدهای شیلی و کوارتزیت بالایی سازند لالون و عضوهای ۲۰ سازند میلا در البرز شرقی. پایان‌نامه کارشناسی ارشد، دانشگاه تربیت معلم، ۱۷۸ صفحه.
- Hammond، ب.، ۱۳۷۴- سنگ‌های رسوی پر کامبرین-کامبرین در ایران. سازمان زمین‌شناسی کشور، طرح تدوین کتاب زمین‌شناسی ایران، شماره ۲۰، ۳۵۳ صفحه.
- راستگار، ل.، ۱۳۷۹- بررسی میکروفارسیسهای، محیط رسوی و چینه‌نگاری سکانسی سازند میلا در البرز غربی، آذربایجان شرقی (عجب شیر). پایان‌نامه کارشناسی ارشد، دانشگاه تربیت معلم، ۹۳ صفحه.
- طهماسبی، ع.، ۱۳۷۶- بررسی میکروفارسیسهای، محیط‌های رسوی و چینه‌شناسی توالیهای بخش‌های زیرین و میانی سازند الیکا در خاور البرز مرکزی. پایان‌نامه کارشناسی ارشد، دانشگاه تربیت معلم، ۱۲۳ صفحه.
- علوی نائینی، م.، ۱۳۷۲- چینه‌شناسی پالنزوویک ایران. سازمان زمین‌شناسی کشور، طرح تدوین کتاب زمین‌شناسی ایران، شماره ۵، ۴۹۲ صفحه.
- لاسمی، ی.، ۱۳۷۸- تشکیل پروتوپالئوتیس و حاشیه واگرای اوخر پر کامبرین بالائی تا اردوبویسین در شمال خاورگندوانا. خلاصه مقالات هیجدهمین گردهمایی علوم زمین، صفحه ۹۲ - ۸۸.
- لاسمی، ی.، ۱۳۷۹- رخسارهای، محیط‌های رسوی و چینه‌نگاری سکانسی نهشته سنگ‌های پر کامبرین بالائی و پالنزوویک ایران. سازمان زمین‌شناسی و اکتشافات معدنی کشور، شماره ۷۸، ۱۸۰ صفحه.
- لاسمی، ی.، و امین‌رسولی، م.، ۱۳۷۸- بررسی میکروفارسیسهای، محیط‌های رسوی و چینه‌شناسی توالیهای واحدهای شیلی و کوارتزیت بالایی سازند لالون. خلاصه مقالات سومین همایش انجمن زمین‌شناسی ایران، صفحه ۵۰۳-۵۰۶.
- لاسمی، ی.، و امین‌رسولی، م.، ۱۳۷۹- رخسارهای کربناتی دریایی کم ژرف در واحد شیلی سازند لالون: یافته‌های نو در منطقه تویه- دروار، باخته البرز خاوری. خلاصه مقالات نوزدهمین گردهمایی علوم زمین، صفحه ۵۰۳.
- لاسمی، ی.، و امین‌رسولی، م.، ۱۳۸۱a- ناپیوستگی فرسایشی در بالای کوارتزیت بالایی سازند لالون: گواهی بر اینکه کوارتزیت بالایی واحد کوارتزیت پایینی سازند میلا نیست. مجموعه مقالات بیست و یکمین گردهمایی علوم زمین، صفحه ۲۳۷.
- لاسمی، ی.، و امین‌رسولی، م.، ۱۳۸۱b- چینه‌نگاری سکانسی سنگ‌های سرانجام پر کامبرین تا اردوبویسین میانی (ابر چرخه ساک) در کوههای البرز. مجموعه مقالات بیست و یکمین گردهمایی علوم زمین، صفحه ۵۳۳.
- لاسمی، ی.، و امین‌رسولی، م.، ۱۳۸۲- بررسی میکروفارسیسهای، محیط‌های رسوی و چینه‌نگاری سکانسی واحدهای شیلی و کوارتزیت بالایی سازند لالون در البرز خاوری. فصلنامه علمی- پژوهشی علوم زمین، وزارت صنایع و معادن، سازمان زمین‌شناسی و اکتشافات معدنی کشور، شماره ۴۷-۴۸، ۴۸-۶۷.
- لاسمی، ی.، و امین‌رسولی، م. (زیر چاپ). رخسارهای کربناتی دریایی کم ژرف در واحد شیلی سازند لالون: یافته‌های نو در منطقه تویه- دروار، باخته البرز خاوری فصلنامه علمی- پژوهشی علوم زمین، وزارت صنایع و معادن، سازمان زمین‌شناسی و اکتشافات معدنی کشور.
- لاسمی، ی.، لطف‌پور، م. و طهماسبی، ع. ر.، ۱۳۷۷- بررسی رخسارهای تروموبولیتی ایران از دیدگاه پالئاکولوژی و چینه‌شناسی توالیها. خلاصه مقالات دومین همایش انجمن زمین‌شناسی ایران، صفحه ۴۰۷-۴۰۲.

**References**

- Allenbach, P., 1966- Geologic und petrography des Damavand und seiner Umgebung (Zentral-Elburz), Iran. Mitt. Geol. Inst. E. T. H. U. Univ. Zurich, no. 63, 114p.
- Alvai, M., 2004 - Regional Stratigraphy of the Zagros Fold-Thrust Belt of Iran and Its Proforeland Evolution. American Journal of Science, 304: 1-20.
- Alvaro, J. J., Vizca, D. & Vennin, E., 1999- Trilobite diversity patterns in the Middle Cambrian of southwestern Europe: a comparative study. Palaeogeography, Palaeoclimatology, Palaeoecology, 151: 241-254.
- Alvaro, J. J., Vennin, E., Moreno-Eiris, E., Perejo'n, A., Bechstadt, T., 2000- Sedimentary patterns across the Lower-Middle Cambrian transition in the Esla nappe (Cantabrian Mountains, northern Spain). Sediment. Geol. 137: 43- 61.
- Assereto, R., 1963- The Paleozoic formations in central Alborz Iran. Riv. Ital., Paleontology, 6: 503-543.

- Bhattacharyya, A. & Chakraborty, Ch., 2000- Analysis of Sedimentary Successions: A Field Manual. A. A. Balkema Pub., 408p.
- Brett, C., 1995- Sequence stratigraphy, biostratigraphy and taphonomy in shallow marine environments. *Palaios*, 10: 597-616.
- Debrenne, F. & James, N. P., 1981-Reef-associated archaeocyathans from the Lower Cambrian of Labrador and Newfoundland. *Palaeontology*, 24: 343-378.
- Dunham, R. J., 1962- Classification of carbonate rocks according to depositional texture. In: W. E. Ham (ed.), *Classification of carbonate rocks*. AAPG, Mem., 1: 108-121.
- Embry, A. F. & Klovan, J. E., 1971- A Late Devonian reef tract on Northeastern Banks Island, N.W.T: Canadian Petroleum Geology Bulletin, 19: 730-781.
- Emery, D. & Myers, K. J., 1996- Sequence Stratigraphy. Oxford, Blackwell Science, 297 p.
- Fedo, C. M. & Cooper, J. D., 2001- Sedimentology and sequence stratigraphy of Neoproterozoic and Cambrian units across a craton-margin hinge zone, southeastern California, and implications for the early evolution of the Cordilleran margin. *Sed. Geol.*, 141-142: 501-522.
- Glumac, B. & Walker, K. R., 1997- Selective dolomitization of Cambrian microbial carbonate deposits: A key to mechanisms and environments of origin. *Palaios*, 12: 98- 110.
- Hasiotis, S. T., 2003- Earliest traces of life on Land: Arthropod trackways and other ichna in Early Cambrian (Nevadella Zone) intertidal to supratidal deposits, Mackenzie Mountains, Northwest Territories, Canada. GSA meeting.
- Hicks, M., Rowland, S. M., & Zhang, Y., 2003- Comparison of Late-Early Cambrian Archaeocyathan reefs from Nevada, U.S.A. & the Western Hubei District, China. GSA meeting.
- James, N. P. & Debrenne, F., 1980- Lower Cambrian bioherms: Pioneer reefs of the Phanerozoic. *Acta Palaeont. Pol.*, 25: 655-668.
- James, N. P. & Gravestock, D. I., 1990- Lower Cambrian shelf and shelf margin buildups, Flinders Ranges, South Australia. *Sedimentology*, 37: 455-480.
- James, N. P. & Kobluk, D. R., 1978- Lower Cambrian patch reefs and associated sediments, Southern Canada. *Sedimentology*, 25: 1-35.
- Keller, M., Cooper, J. & Lehnert, O., 2003- Sauk sequence sequences (Southern Great Basin). Canda, GSA meeting.
- Kiessling, W. & Flugel, E., 2002- Paleoreefs- a database on Phanerozoic. In: W. Kiessling, E. Flugel & J. Golonka (eds.), *Phanerozoic Reef Patterns*. SEPM Special Publication, 72: 77-92.
- Kobluk, D. R. & James, N. P., 1979- Cavity-dwelling organisms in Lower Cambrian patch reefs from southern Labrador. *Lethaia*, 12: 193-218.
- Kushan, B., 1978- Stratigraphy and trilobite fauna of the Mila Formation (Middle Cambrian-Tremadocian) of the Alborz Rang, North Iran. Geological and Mineral Survey of Iran, Rep., no. 49, 70 p.
- Lasemi, Y., 1995- Depositional systems and sequence stratigraphy of the Cambro- Ordovician Mila Formation in the Alborz Mountains, Northern Iran. 1st SEPM. Cong. On Sediment. Geol. (Abstr.), P. 82.
- Lasemi, Y., 1997- Depositional systems and sedimentary events of the Early- Late Ordovician syn-rift succession (Upper Sauk- Lower Tippecanoe Sequence) in northern and central Iran. CSPG- SEPM joint convention, Calgary, Canada (Abstr.), P. 161.
- Matsumoto, R., Zheng, Z., Kakuwa, Y., Hamdi, B. & Kimura, H., 1995- Preliminary Results of Paleomagnetic Study on the Cambrian to the Triassic Rocks of the Alborz, Northeast Iran. University of Tokyo, Sec. II, 22: 233-249.
- Meng, X., Ge, M. & Tucker, M. E., 1997- Sequence stratigraphy, sea level changes and depositional systems and sequence in the Cambro- Ordovician of North China carbonate platform. *Sediment. Geol.*, 114: 189-222.
- Miall, A. D., 2000- Principles of Sedimentary Basin Analysis. Springer-Verlag, 616p.
- Millson, J. A., Mercadier, C. G. L., Livera, S. E. & Peters, J. M., 1996- The Lower Palaeozoic of Oman and its context in the evolution of a continental margin. *J. Geol. Soc. Lond.*, 153: 213-230.
- Palmer, A. R., 1981- Subdivision of the Sauk sequence. In: M. E., Taylor (ed.), 2nd International symposium on the Cambrian system. U.S.Geol. Surv. Open file Rep. 81- 743, 160- 162.
- Pemberton, S. G., James, N. P. & Kobluk, D. R., 1979- Ichnology of Labrador Group (Lower Cambrian) in Southern Labrador. American Association of Petroleum Geologists Bulletin, 63, p. 508.
- Pettijohn, F. J., Potter, P. E. & Siever, R., 1987- Sand and Sandstone. Springer Verlag, New York, 553p.
- Prave, A. R., 1992- Depositional and sequence stratigraphic framework of the Lower Cambrian Zabriskie Quartzite: Implications for regional correlations and the Early Cambrian paleogeography of the Death Valley region of California and Nevada: Geological Society of America Bulletin, 104: 505-515.
- Rowland, S. M. & Gangloff, R. A., 1988- Structure and paleogeology of Lower Cambrian reefs. *Palaios*, 3: 111-135.
- Seslavinsky, K. B. & Maidanskaya, I. D., 2001- Global Facies Distributions from Late Vendian to Mid-Ordovician. In: *The Ecology of the Cambrian Radiation*. New York, Columbia University Press.
- Soudry, D. & Weissbrod, T., 1995- Morphogenesis and facies relationships of thrombolites and siliciclastic stromatolites in Cambrian tidal sequence (Elat Area). *Palaeogeogr. Palaeoclimato. Palaeoeco.*, 114: 339- 355.

- Stocklin, J. Ruttner, A. & Nabavi, M. H., 1964 - New data on the lower Paleozoic and Pre-Cambrian of North Iran. G. S. Iran, Rep. no. 1, 29p.
- Zhuravlev, A. Yu., 2001- Paleoecology of Cambrian reef ecosystems. In: G. D. Stanley (ed.), The history and sedimentology of ancient reef systems. Academic/Plenum Pub., 121-155.
- Zhuravlev, A. Yu. & Wood, R. A., 1995- Lower Cambrian reefal cryptic communities. Palaeontology, 38:443-470
- Zhuravlev, A. Yu. & Wood, R. A., 1996- Anoxia as the cause of the mid-Early Cambrian (Botomian) extinction event. Geology, 24: 311-314.

\*گروه زمین‌شناسی دانشگاه تربیت معلم تهران

\* Department of Geology of Tarbiat Moallem University